

Федеральное государственное автономное образовательное учреждение высшего образования  
«Национальный исследовательский Нижегородский государственный университет им. Н.И  
Лобачевского»

Отчёт по лабораторной работе  
«Исследование колебательных процессов в электрическом  
контуре»

Выполнили студенты группы 10191

Елясин Андрей Алексеевич  
Петрова Ирина Александровна

Проверил: Водопьянов Александр Валентинович

Нижний Новгород

Цель работы: экспериментальное исследование колебательных процессов в линейном осцилляторе с потерями.

## Теоретическая часть

### Уравнение гармонического осциллятора с затуханием

Дифференциальное уравнение, описывающее процессы в исследуемом контуре, имеет вид:

$$\ddot{q} + 2\delta\dot{q} + \omega_0^2 q = f(t) \quad (1)$$

где  $q$  – заряд на конденсаторе,

$\delta = R/2L$  – коэффициент затухания,

$\omega_0 = 1/\sqrt{LC}$  – собственная частота,

$f$  – вынуждающая сила.

Уравнение (1) является неоднородным линейным дифференциальным уравнением 2 порядка с постоянными коэффициентами, его решение можно представить в виде суммы частного решения уравнения (1) и общего решения соответствующего однородного уравнения:

$$\ddot{q} + 2\delta\dot{q} + \omega_0^2 q = 0$$

Исследуем решения уравнения (1), при анализе выделим 3 случая:  $\delta < \omega_0$ ;  $\delta > \omega_0$ ;  $\delta = \omega_0$

1)  $\delta < \omega_0$  решения уравнения (1) записывается:

$$q = Ae^{-\delta t} \cos(\Omega t + \varphi), \quad \Omega = \sqrt{\omega_0^2 - \delta^2}$$

2) В случае  $\delta > \omega_0$  процесс называется аperiодическим, зависимость заряда на конденсаторе от времени:

$$q = A_1 e^{\alpha_1 t} + A_2 e^{\alpha_2 t}, \quad \alpha_{1,2} = -\delta \pm \sqrt{\delta^2 - \omega_0^2}$$

3) Условие  $\delta = \omega_0$  определяет критический режим колебаний, а соответствующее этому условию сопротивление называется критическим сопротивлением контура  $R_{кр} = 2\sqrt{\frac{L}{C}}$

### Логарифмический декремент затухания

Логарифм отношения значений заряда на пластинах конденсатора в двух последовательных максимумах называется логарифмическим декрементом затухания.

$$d = \ln\left(\frac{q_n}{q_{n+1}}\right) = \delta T, \quad N = \frac{\tau}{T} = \frac{1}{\delta T} = \frac{1}{d}$$

Часто для характеристики затухание используют добротность контура  $Q = \pi N$  или

$$Q = \frac{\omega_0}{2\delta} \quad (2)$$

## Вынужденные колебания под действием гармонической силы

Вынужденные колебания под действием внешней гармонической силы с частотой  $\omega$  описываются уравнением:

$$\ddot{q} + 2\delta\dot{q} + \omega_0^2 q = F_0 \cos \omega t$$

Решение этого уравнения имеет вид

$$q(t) = B(\omega) \cos(\omega t + \gamma)$$

$$B(\omega) = \frac{F_0}{\sqrt{(\omega^2 - \omega_0^2)^2 + 4\delta^2 \omega^2}}, \quad \operatorname{tg} \gamma = \frac{2\delta \omega}{\omega^2 - \omega_0^2} \quad (3)$$

Для последовательного RLC контура, учитывая, что  $F_0 = \varepsilon_0/L$ , формула амплитуды и фазы записываются:

$$B(\omega) = \frac{\varepsilon_0}{\omega \sqrt{R^2 + \left(\omega L - \frac{1}{\omega C}\right)^2}}, \quad \operatorname{tg} \gamma = \frac{R}{\omega L - 1/\omega C}$$

Выразим величины, исследуемые в практической части:

$$I_0 = \omega B(\omega) = \frac{\varepsilon_0}{\sqrt{R^2 + \left(\omega L - \frac{1}{\omega C}\right)^2}}$$

$$U_L = I_0 \omega L = \frac{\omega L \varepsilon_0}{\sqrt{R^2 + \left(\omega L - \frac{1}{\omega C}\right)^2}}$$

$$U_C = \frac{q}{C} = \frac{\varepsilon_0}{\omega C \sqrt{R^2 + \left(\omega L - \frac{1}{\omega C}\right)^2}}$$

$$U_R = I_0 R = \frac{\varepsilon_0 R}{\sqrt{R^2 + \left(\omega L - \frac{1}{\omega C}\right)^2}}$$

Найдём частоту, при которой достигается максимум напряжения на резисторе, конденсаторе, катушке:

$$\omega_{\max_R} = \sqrt{1/LC}, \quad \omega_{\max_C} = \sqrt{\omega_0^2 - 2\delta^2} \approx \omega_0 \left(1 - \frac{\delta^2}{\omega_0^2}\right);$$

$$\omega_{\max_L} = \frac{\omega_0^2}{\sqrt{\omega_0^2 - 2\delta^2}} = \frac{\omega_0}{\sqrt{1 - \frac{1}{2Q^2}}} = \frac{\omega_0}{\sqrt{1 - \frac{2\delta^2}{\omega_0^2}}} \approx \omega_0 \left(1 + \frac{\delta^2}{\omega_0^2}\right)$$

Процессы установления колебаний в контуре описываются уравнением:

$$q(t) = Ae^{-\delta t} \cos(\omega_s t + \varphi) + B(\omega) \cos(\omega t + \gamma)$$

В случае  $q(0) = 0, \dot{q}(0) = 0$  решение записывается

$$q(t) = \frac{F_0}{\omega^2 - \omega_0^2} (\cos \omega t - \cos \omega_0 t)$$

### Практическая часть

Рассмотрим, как выглядят осциллограммы напряжения на конденсаторе (верхняя) и на резисторе (нижняя) на рисунке 1.

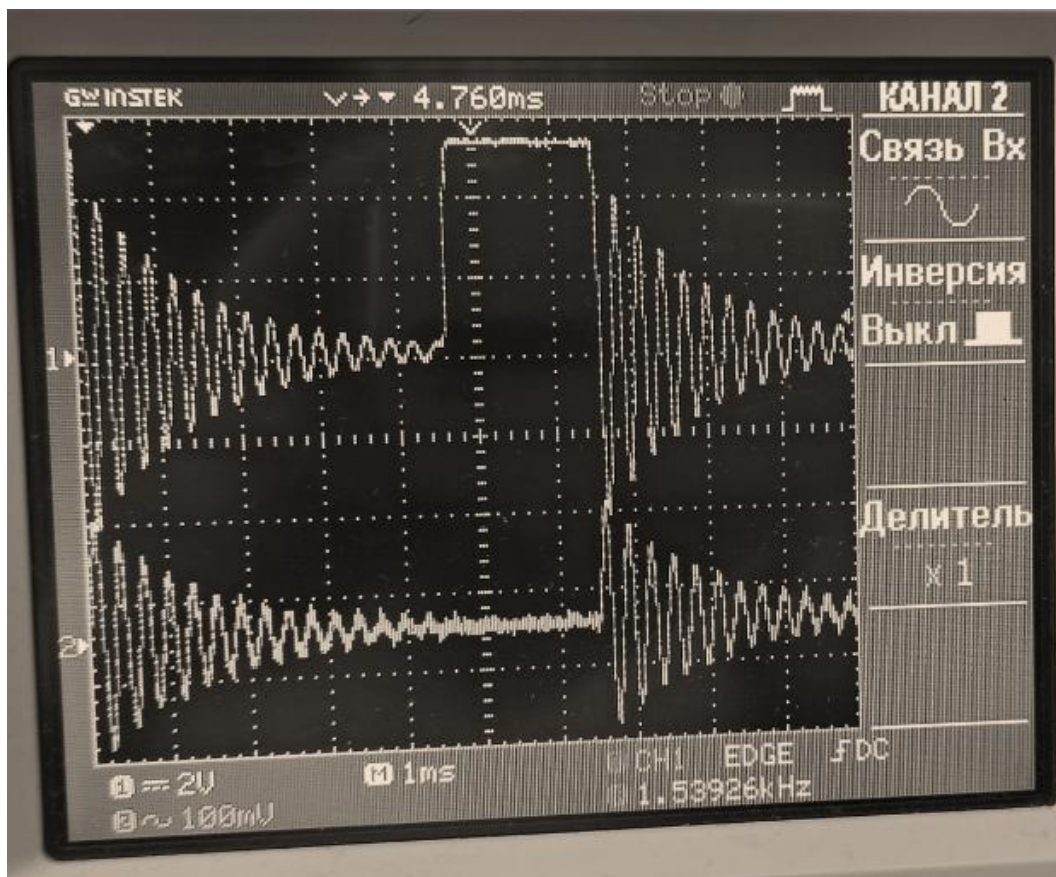


Рисунок 1. Осциллограммы напряжений на конденсаторе и на резисторе

Измерим период и логарифмический декремент затухания: для нахождения периода колебаний с хорошей точностью – измерим время, за которое проходит несколько периодов колебаний и поделим на число колебаний, аналогичную схему используем для нахождения декремента затухания: измерим отношение между максимумами через несколько периодов и поделим на количество декрементов затухания, укладываемых в период. Данные запишем в таблицу 1.

R, кОм	T, мс	q1	qn	n	d
0	0,4725	10,6	2	16	0,104232
0,02	0,472941	10,2	1,4	17	0,116819
0,05	0,473333	9,8	1	14	0,163027
0,1	0,4725	11,6	0,8	11	0,243104
0,23	0,475	7,8	0,6	7	0,366421
0,5	0,476667	5,4	0,2	4	0,823959
1	0,49	11,8	0,16	3	1,43356
2,3	0,54	11,6	0,24	1	3,878121

Таблица 1. Экспериментальные данные

где  $q_1$  – значение заряд в первом максимуме,  $q_n$  – в  $n$ -ном,  $n$  – количество декрементов затухания между  $q_n$  и  $q_1$ .

Построим графики  $d(R)$ ,  $T(R)$ :

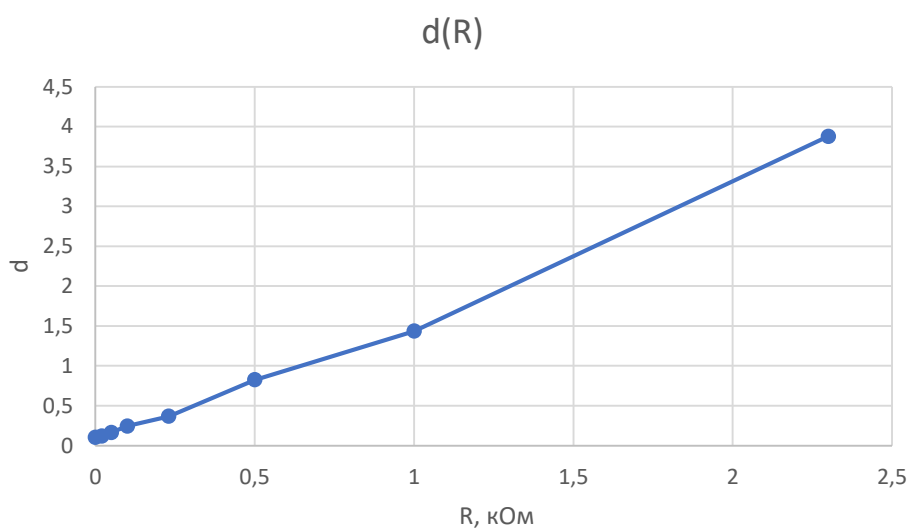


Рисунок 2. График зависимости логарифмического декремента от сопротивления

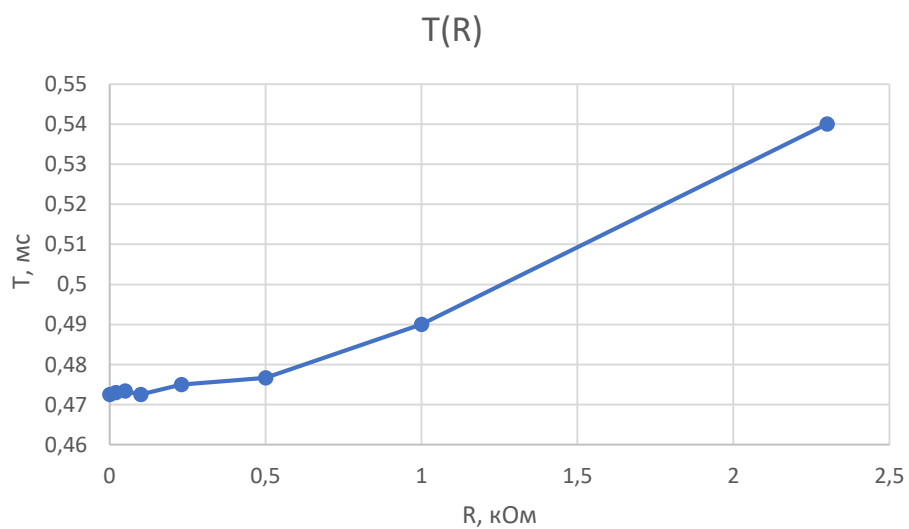


Рисунок 3. График зависимости периода колебаний от сопротивления

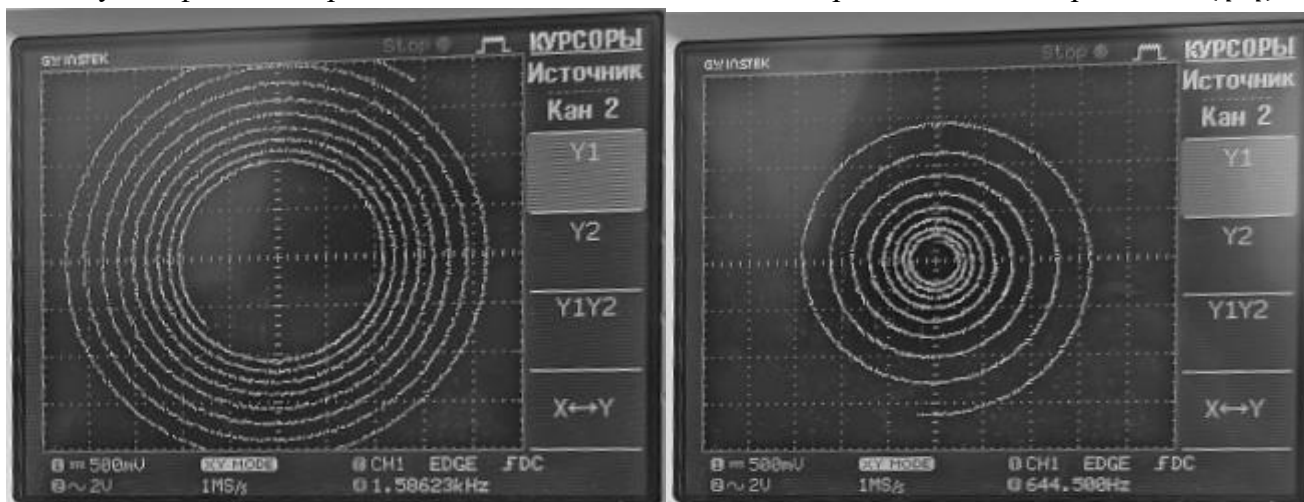
Рассчитаем значение добротности и индуктивности для значения  $R = 230 \text{ Ом}$ . Добротность найдём по формуле  $Q = \pi/d$ , а для поиска индуктивности сначала найдём частоту собственных колебаний по формуле:

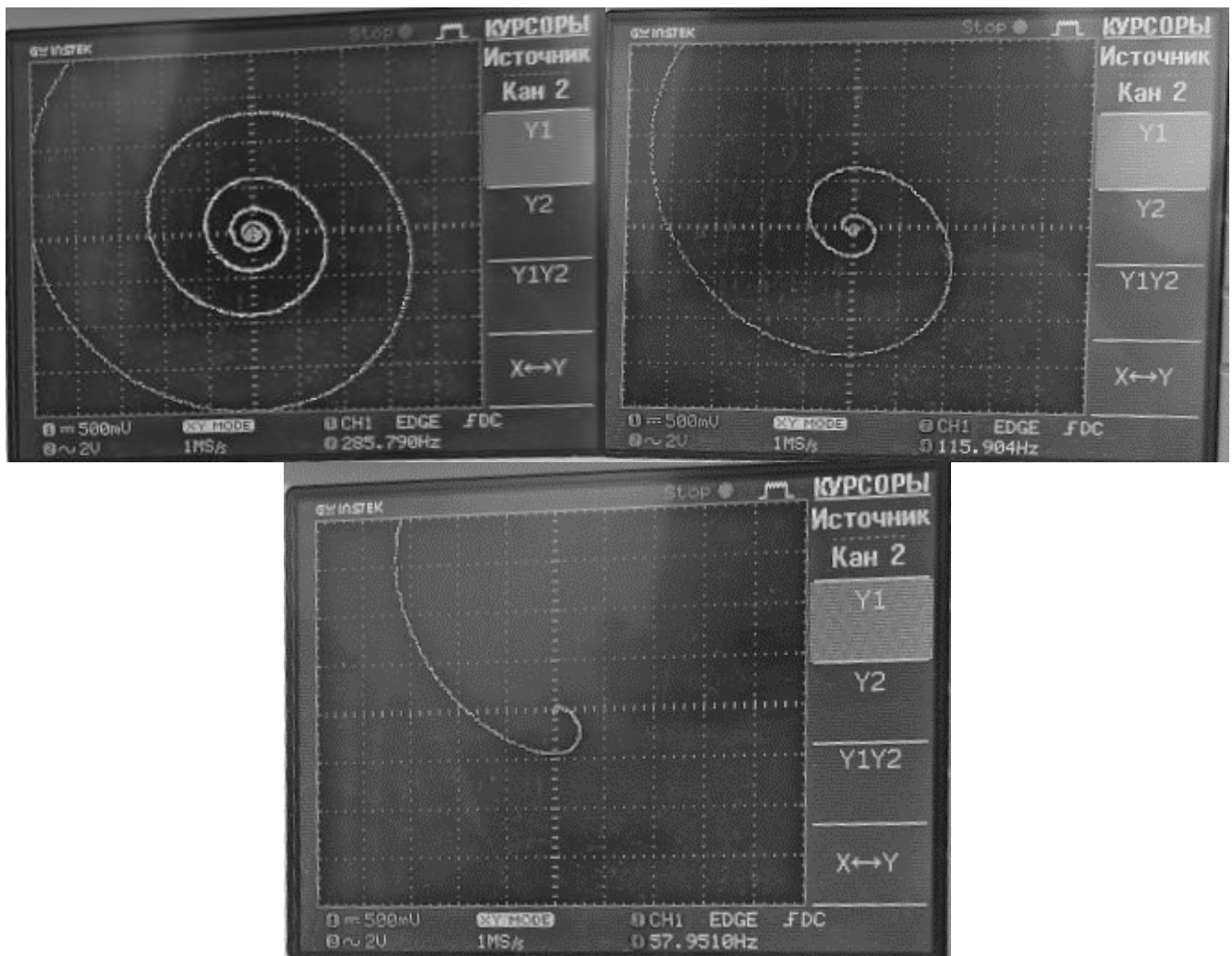
$$\omega = \sqrt{\omega_0^2 - \delta^2} = \omega_0 \sqrt{1 - \left(\frac{\delta}{\omega}\right)^2} = \omega_0 \sqrt{1 - \frac{1}{4Q^2}} \Leftrightarrow \omega_0 = \frac{\omega}{\sqrt{1 - \frac{1}{4Q^2}}}$$

Для сопротивления в 230 Ом получим:

$$Q_{230} = 8,574, \quad L_{230} = 172,45 \text{ мГн}$$

Получим фазовые картинки для нескольких значений сопротивлений в координатах  $(\dot{q}, q)$





Сопротивления соответственно – 0; 0,1; 0,5; 1; 2,3 кОм.

Исследуем зависимость амплитуд напряжений от частоты вынуждающей силы, данные представим в виде графиков:

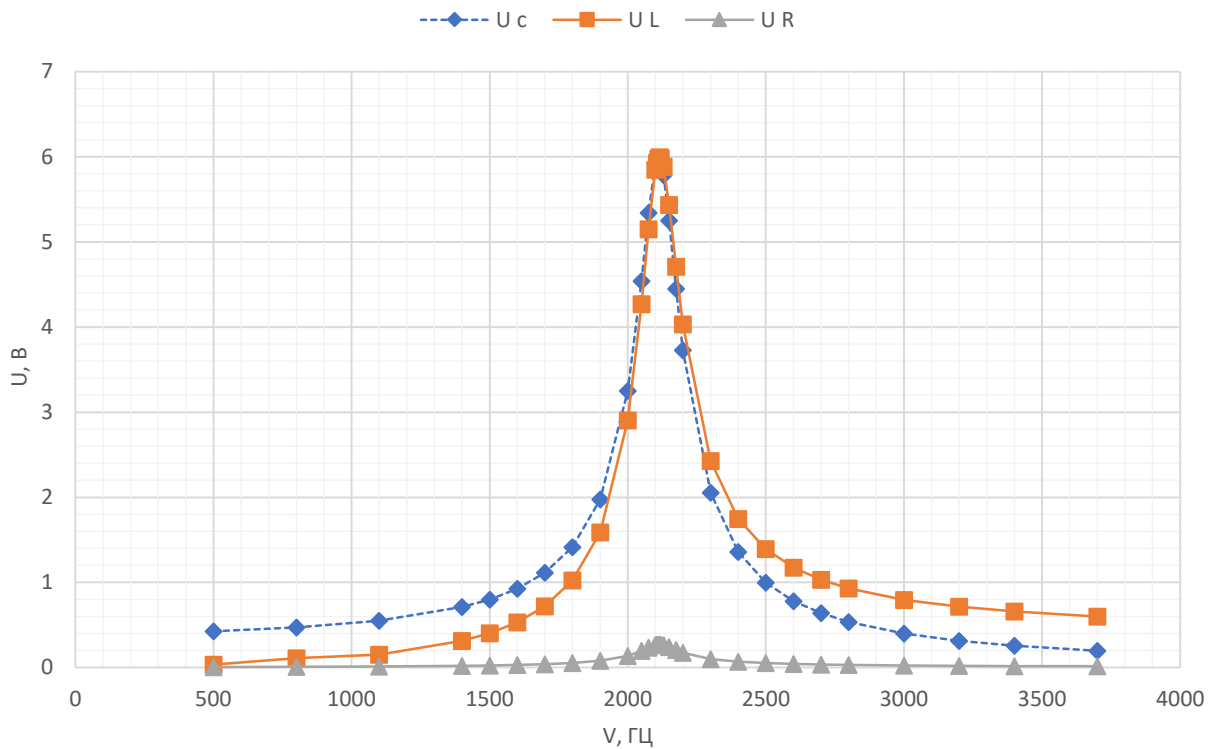


Рисунок 4. График зависимости напряжений от частоты вынуждающей силы 0,1 кОм

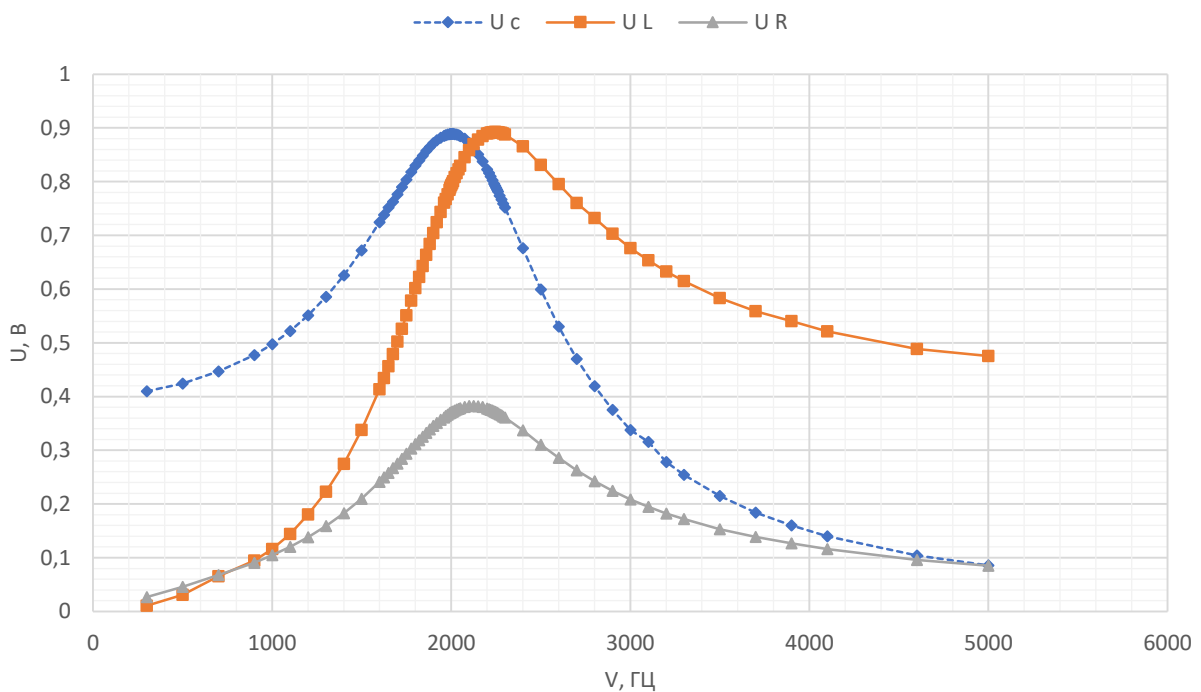


Рисунок 5. Графи зависимости напряжений от частоты вынуждающей силы при сопротивлении 1 кОм

По экспериментальным данным резонансная частота контура  $\omega_0 = 13351,77 \text{ рад/с}$ . Уточним значение индуктивности -  $L \approx 171,02 \text{ мГн}$ , уточним и значение сопротивления нашей установки, воспользовавшись формулой для добротности:  $Q = \frac{\omega_0}{2\delta} = \frac{\omega_0}{R}L$ , тогда сопротивление:  $R = \frac{\omega_0 L}{Q}$ , значит более точное сопротивление для 0,1 кОм - 118,5 Ом, а для 1кОм уточнять не будем, так как



точность определения добротности мала (логарифмический декремент затухания измерен за малое количество периодов). Построим теоретические графики используя формулы (3) и (2).

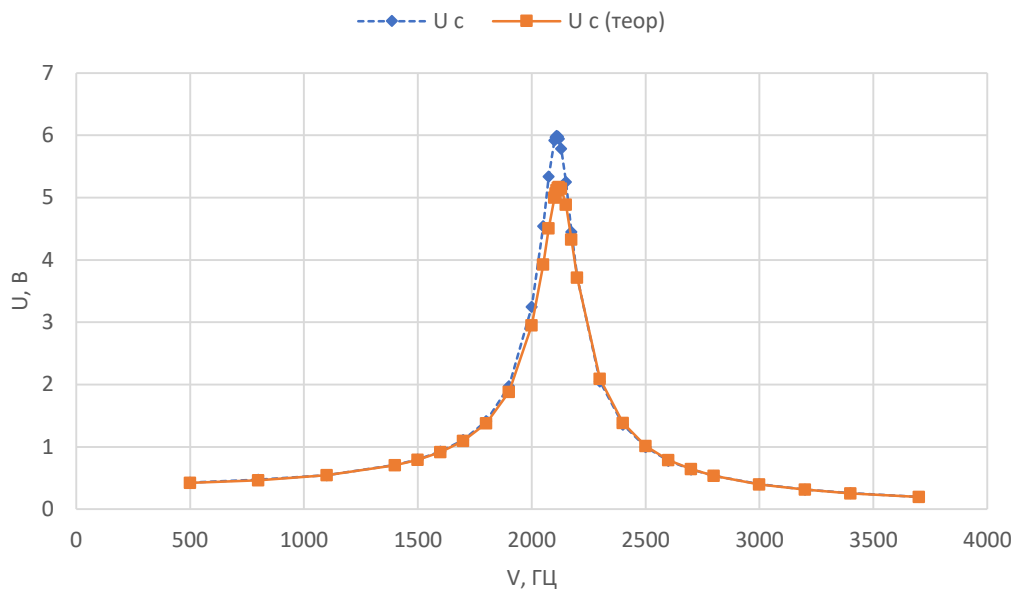


Рисунок 6. Экспериментальные и теоретические графики зависимости напряжения на конденсаторе,  $R = 118,5$  Ом.

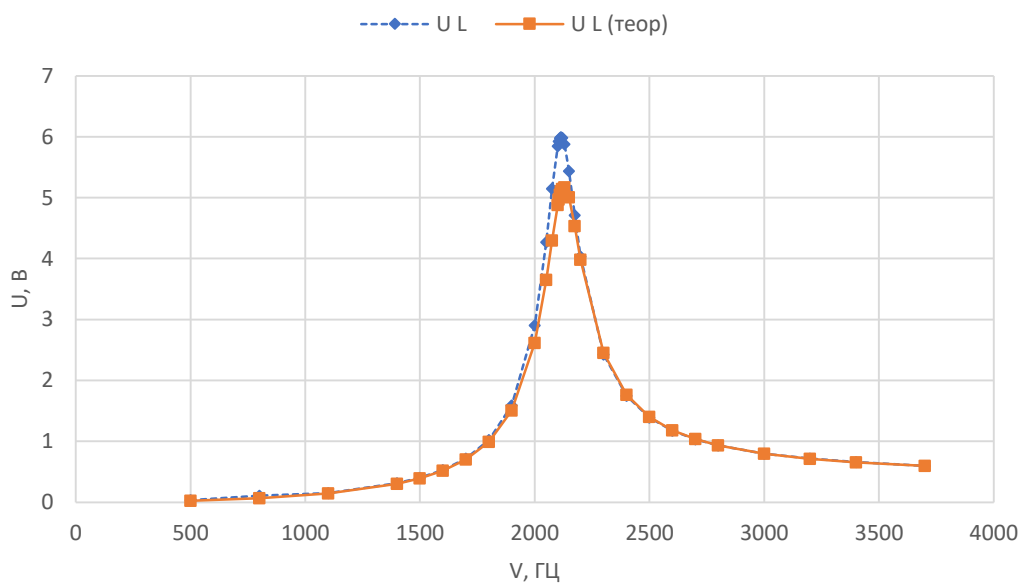


Рисунок 7. Экспериментальные и теоретические графики зависимости напряжения на катушке,  $R = 118,5$  Ом.

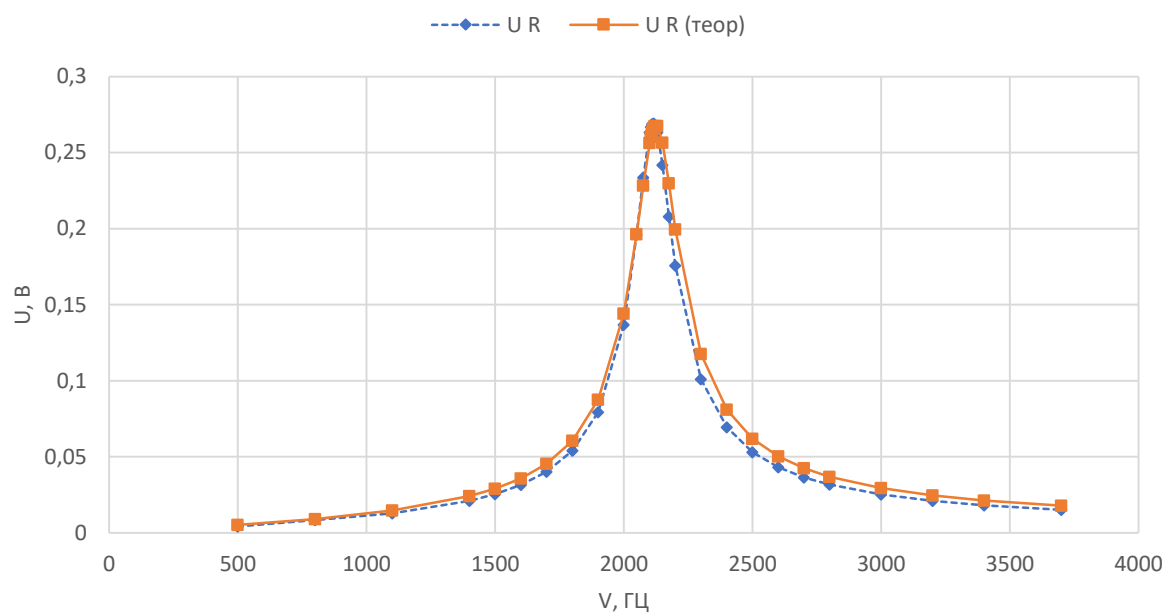


Рисунок 8. Экспериментальные и теоретические графики зависимости напряжения на резисторе,  $R = 118,5 \text{ Ом}$ .

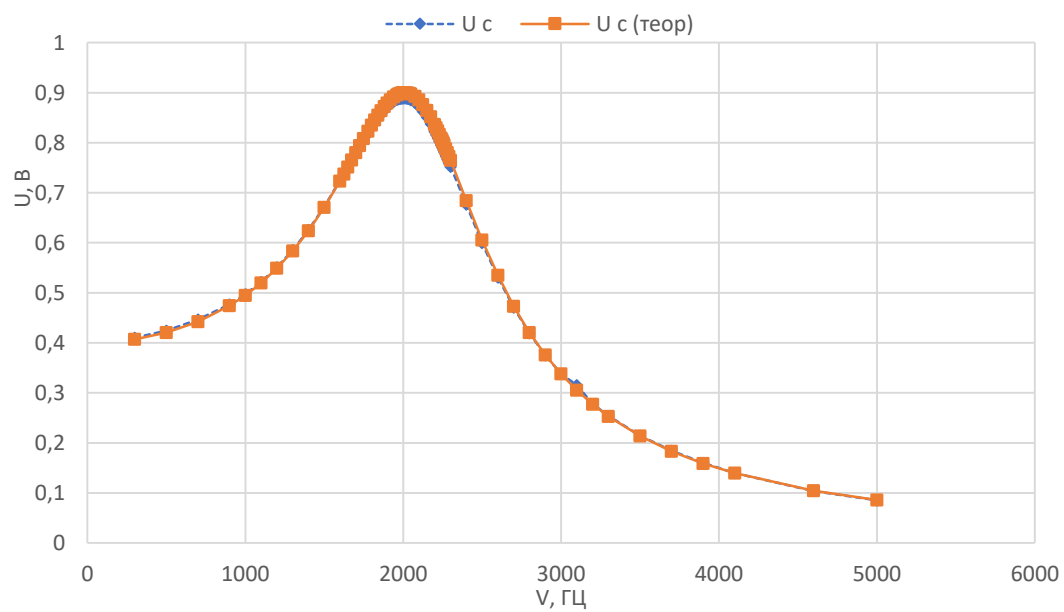


Рисунок 9. Экспериментальные и теоретические графики зависимости напряжения на конденсаторе,  $R = 1 \text{ кОм}$ .

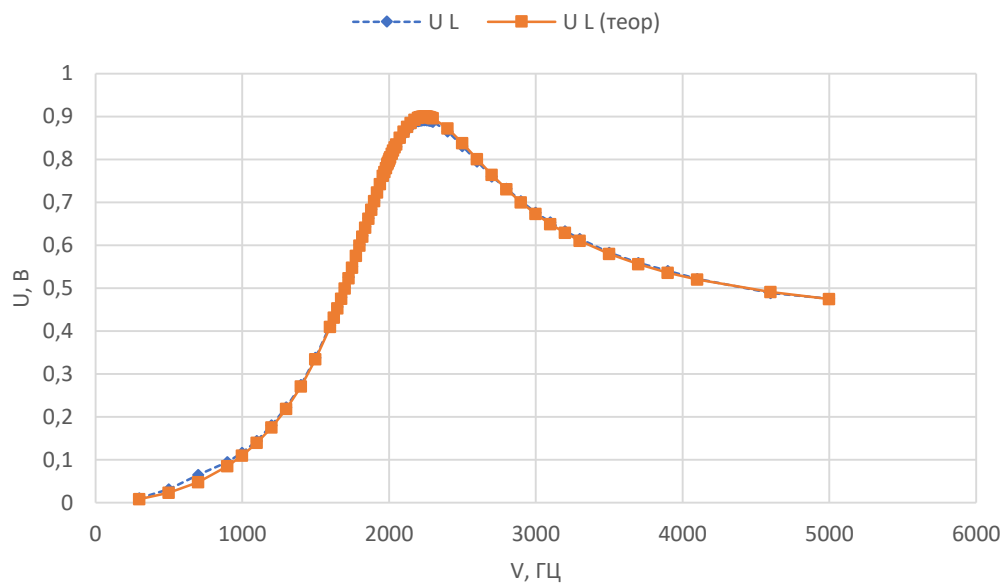


Рисунок 10. Экспериментальные и теоретические графики зависимости напряжения на катушке,  $R = 1 \text{ кОм}$ .

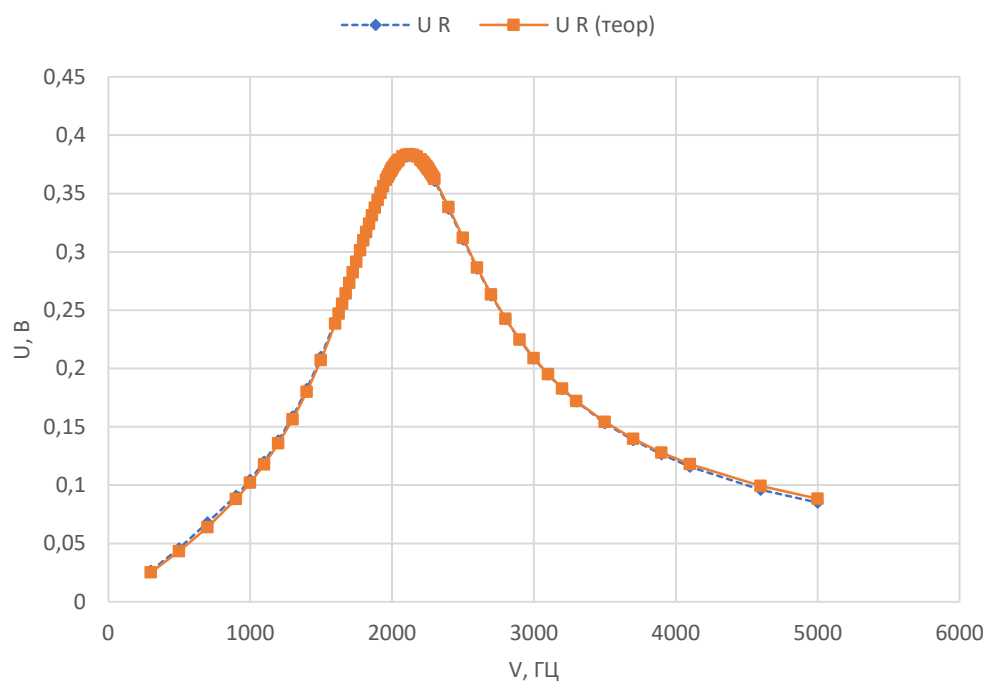
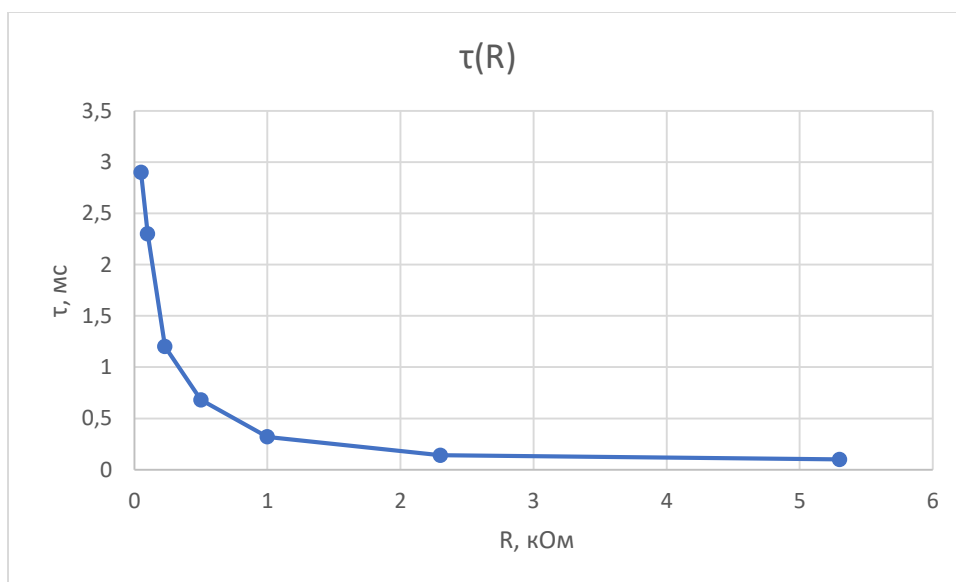


Рисунок 11. Экспериментальные и теоретические графики зависимости напряжения на резисторе,  $R = 1 \text{ кОм}$ .

Уточним сопротивление контура «1кОм», для этого воспользуемся тем, что на собственной частоте контура амплитуда напряжения на резисторе максимальна и равна отношению амплитуды силы тока к сопротивлению, поэтому точное сопротивление – 1041,97 Ом. Определим добротность контура с сопротивлением «1 кОм» по формуле  $Q = \frac{1}{R} \sqrt{\frac{L}{C}}$ , получим –  $Q_R \approx 2,1915$ . Найдём добротность контура и другим способом: отношение напряжений  $\frac{U_C U_L}{U_R^2} = \frac{L}{CR^2} = Q^2$ , при резонансе  $Q \approx 2,265$ . Существует и другой способ определения добротности: ширина резонансной кривой (диапазон частот от значения амплитуды в два раза меньшей резонансной слева до значения в два раза меньшей резонансной справа) равна  $\frac{\omega_0}{Q}$ , таким образом, получим:  $Q_R \approx 1,25$ ;  $Q_C \approx 1$ , а ширину резонансной кривой по L по нашим данным не определить точно. Этот метод даёт большое расхождение с данными, полученными нами по определению логарифмического декремента затухания ( $Q \approx 2,1915$ ), потому что выражение  $\Delta\omega = \frac{\omega_0}{Q}$  использует приближение  $Q \gg 1$ , что в нашем случае – неверно.

Исследуем зависимость времени установления колебаний в контуре от сопротивления контура, по экспериментальным данным построим график:



Время установления - это время, за которое вынужденные колебания становятся больше собственных, в терминах решения уравнения (1) – время, за которое общее решение становится много меньше частного.

Вывод:

- Провели исследования собственных колебаний в электрическом контуре, получили зависимости периода и логарифмического декремента затухания от значения сопротивления в цепи;
- Рассчитали значения добротности и индуктивности для значения  $R = 230$  Ом:  $Q_{230} = 8,574$ ,  $L_{230} = 172,45$  мГн;
- Рассмотрели фазовые плоскости, описывающие колебания при различных значениях R;

- При исследовании вынужденных колебаний были получены следующие зависимости:  $U_c(\nu)$ ,  $U_L(\nu)$ ,  $U_R(\nu)$ , сравнили их с теоретическими кривыми. Расхождение между экспериментом и теорией обусловлено неточными данными цепи, влияющие на теоретические кривые.
- Установили, что время установления колебаний уменьшается при увеличении сопротивления в цепи.